



CENTRO FEDERAL DE EDUCAÇÃO TECNOLÓGICA DE MINAS GERAIS
DEPARTAMENTO DE COMPUTAÇÃO
CURSO DE ENGENHARIA DE COMPUTAÇÃO

ESTUDO DE ESTRATÉGIAS DE CONTROLE DE FORMAÇÃO DE ROBÔS COM FOCO EM TOLERÂNCIA A FALHAS

MARIANA ATHAYDE GARCIA

Orientador: Prof. Tales Argolo Jesus
Centro Federal de Educação Tecnológica de Minas Gerais – CEFET-MG

Coorientador: Prof. Anolan Yamilé Milanés Barrientos
Centro Federal de Educação Tecnológica de Minas Gerais – CEFET-MG

BELO HORIZONTE
JULHO DE 2015

Lista de Figuras

Figura 1 – Controle de Formação: classificação quanto à estrutura física	7
Figura 2 – Modelo do Robô	11
Figura 3 – Problema 1: Fig.(a): Sistema no instante i . Fig.(b): Sistema no instante $i+k$	13
Figura 4 – Modelagem do Sistema	15
Figura 5 – Primeira malha de Controle do Sistema - Controle da velocidade angular	17
Figura 6 – Segunda malha de Controle do Sistema - Controle de Posicionamento	19
Figura 7 – Erro de velocidade angular - Controle Simples	21
Figura 8 – Trajetória do Robô (R: 15cm) - Controle Simples	21
Figura 9 – Erro de velocidade angular - Controle PI: $k_p = 10, k_i = 1$ - Raio 15cm	21
Figura 10 – Trajetória do Robô (R: 15cm) - Controle PI: $k_p = 10, k_i = 1$	22
Figura 11 – Comparativo - Erro de velocidade angular - Controle PI e Controle Simples - Raio 15cm	22
Figura 12 – Comparativo da Trajetória do Robô (R: 15cm) - Controle PI e Controle Simples	23
Figura 13 – Erro de velocidade angular - Controle PI: Sistema Instável - Raio 15cm	23
Figura 14 – Comparativo: Erro de velocidade angular - Controladores PI	23
Figura 15 – Trajetória do Controladores PID - Raio 30cm	24

Lista de Quadros

Lista de Abreviaturas e Siglas

CEFET-MG	Centro Federal de Educação Tecnológica de Minas Gerais
DECOM	Departamento de Computação
IDE	<i>Integrated Development Environment</i>
NBC	Next Byte Codes
NXC	Not eXactly C
P	Controlador Proporcional
PI	Controlador Proporcional Integral
PID	Controlador Proporcional Integral Derivativo
VANT	Veículo Aéreo Não Tripulado

Lista de Símbolos

R	Raio de distância do alvo
θ	Sentido no plano cartesiano
v	Velocidade linear
ω	Velocidade angular
(x_a, y_a)	Coordenadas do alvo no plano cartesiano
v_d	Velocidade linear desejada
ω_d	Velocidade angular desejada
(x_r, y_r)	Coordenadas do robô no plano cartesiano
(x_d, y_d)	Coordenadas desejadas do robô no plano cartesiano
e_r	Vetor de erro de posição
r_d	Vetor de distância da origem do plano cartesiano ao ponto desejado
r_r	Vetor de distância da origem do plano cartesiano ao robô
e_x	Erro de posição no eixo x
e_y	Erro de posição no eixo y
θ_d	Sentido desejado no plano cartesiano
θ_r	Sentido real do robô no plano cartesiano
e_θ	Sentido no plano cartesiano
T	Período de rotação ao redor do alvo
ω_c	Velocidade angular passada para primeira malha de controle
ω_r	Velocidade angular real do robô
ω_{dr}	Velocidade angular desejada da roda direita
ω_{dl}	Velocidade angular desejada da roda esquerda
ω_{rr}	Velocidade angular real da roda direita
ω_{rl}	Velocidade angular real da roda esquerda

e_{wr}	Erro de velocidade angular da roda direita
e_{wl}	Erro de velocidade angular da roda esquerda
pwm_r	Potência da roda direita
pwm_l	Potência da roda esquerda

Sumário

1 – Introdução	1
1.1 Relevância do tema	1
1.2 Objetivos	2
1.3 Definição do Problema	2
1.4 Infraestrutura Necessária	3
2 – Trabalhos Relacionados	4
3 – Fundamentação Teórica	6
3.1 Modelos Matemáticos: Sistemas Não Holonômicos	6
3.2 Controle de Formação	6
3.3 Controle Proporcional Integral Derivativo e a Técnica de Controle em Cascata	7
3.4 Plataformas	8
3.4.1 ROS	8
3.4.2 NXT-G	8
3.4.3 Simulink	8
3.4.4 LABView	8
3.4.5 RWTH Aachen MINDSTORMS NXT Toolbox	9
3.4.6 BRICX Command center	9
4 – Metodologia	10
4.1 Modelo Matemático	11
4.2 Problema 1: <i>In line</i>	13
4.3 Problema 2: Rodeando um alvo	14
5 – Abordagem e Modelagem do Problema: Malhas de Controle	16
5.1 Malha de Controle 1: Velocidade Angular das Rodas	16
5.2 Malha de Controle 2: Posicionamento	18
5.3 Malha de Controle 3: Controle de formação	19
6 – Resultados Preliminares	20
7 – Conclusão	25
Referências	26

1 Introdução

Atualmente, é cada vez mais frequente a participação de robôs na nossa sociedade, desde em seguimentos da indústria, onde esses robôs vêm se mostrando uma solução tanto econômica quanto eficiente, como também em salas cirúrgicas e no nosso cotidiano, na busca de facilitar ainda mais as tarefas ([CHEN et al., 2002](#); [CARLES; HERMOSILLA, 2008](#)). Entretanto, existem situações em que a utilização de um único robô é uma solução um tanto quanto lenta e muitas vezes inviável. Como exemplo de uma dessas situações pode-se citar o problema de patrulhamento de fronteira ([CORRÊA; JÚNIOR, 2008](#)) : Para proteção das fronteiras de um país, manter diversas patrulhas de policiais circundando a área se torna muitas vezes caro e ineficiente. Uma alternativa é alocar um veículo aéreo não tripulado (VANT) vigiando essas fronteiras, entretanto, apenas um VANT como vigia deixará uma grande área da fronteira desprotegida por um longo período de tempo. E é por isso que a aplicação de um conjunto de robôs, cooperando entre si, se mostra muitas vezes interessante.

Dentro deste panorama, surge o interesse cada vez mais crescente pelo estudo, não só da robótica, mas também de um segmento mais específico da área da inteligência artificial distribuída, que é o estudo de sistemas multiagentes, que consiste em agentes autônomos que percebem a ação do ambiente e agem de acordo com a percepção da rede de agentes. Ou, segundo os autores [Ramchurn et al. \(2004, p. 1\)](#), "[...]sistemas multiagente são sistemas compostos de agentes autônomos que interagem entre si usando determinados mecanismos e protocolos".

De acordo com [Secchi \(2008\)](#) , "a robótica sempre ofereceu ao setor industrial um excelente compromisso entre produtividade e flexibilidade, uma qualidade uniforme dos produtos e uma sistematização dos processos". Mas, mais importante que maximizar a lucratividade das indústrias, a qualidade dos produtos e facilitar cada vez mais as tarefas cotidianas, os robôs permitem resguardar a vida humana, substituindo seres humanos em situações de risco. Exemplos de aplicação incluem: exploração e mapeamento de áreas desconhecidas, situações de incêndio, onde grupos de pessoas precisam apagar o fogo expondo suas vidas a um risco ou até mesmo em missões de resgate em terrenos perigosos. Daí a importância de que o sistema seja tolerante à falha de um ou mais agentes. Afinal, é de extrema importância que o objetivo seja cumprido.

1.1 Relevância do tema

Hoje em dia, há tarefas que são realizadas em diversas áreas nas quais a presença ou o envolvimento direto de pessoas é algo perigoso, ou até mesmo inviável. Sendo

assim, é crescente a necessidade de se estudar outros meios de acesso a essas situações de risco, sem que isso signifique um risco à vida humana. Diante dessa problemática, o estudo de estratégias de controle de robôs móveis vêm aumentando consideravelmente. Não só para problemas que colocam em risco a vida humana, mas também problemas onde a aplicação dos robôs móveis otimizaria o tempo e eficiência da resolução destes problemas. Dentre estes problemas mencionados pode-se citar ([GIRARD et al., 2004](#); [JESUS, 2013](#); [MARJOVI et al., 2009](#)) : o patrulhamento de fronteiras, o controle de incêndio, mapeamento de áreas desconhecidas, busca de pessoas perdidas ou detecção e monitoramento de problemas em determinado alvo, dentre outros.

Como é possível perceber são inúmeras as possibilidades de aplicação dos robôs móveis. Entretanto, devido muitas vezes à urgência e/ou à extensão da cobertura do problema é necessário modular o mesmo e redistribuí-lo entre um sistema multiagente de robôs móveis. Sendo assim, surge aí mais uma demanda por estudos relativos a estratégias de controle de sistemas multiagente constituídos de robôs móveis. Um dos desafios destes sistemas multiagentes não é só o controle de cada agente por si só, mas também como a frota irá se comportar como um todo, para viabilizar a resolução do problema e/ou também maximizar a eficiência na resolução do mesmo. É necessário que se garanta que os robôs não colidam entre si, e trabalhem em um sistema cooperativo de fato, e não atuando individualmente, anulando a vantagem da frota, como se essa fosse constituída de apenas um robô.

Outra questão importante, que inclusive é o foco do tema deste trabalho, é a tolerância a falhas do sistema, isto é, como o sistema irá se comportar, se reestruturar e reorganizar diante da perda de um ou mais robôs, visto que além de ser um ambiente hostil (muitas vezes desconhecido ou até dinâmico), existem outros fatores críticos, dentre eles: falha de comunicação, ou desligamento de um dos agentes devido ao esgotamento de bateria.

1.2 Objetivos

Este trabalho tem como objetivo o estudo de estratégias de controle de formação de uma frota de robôs e seu comportamento em relação à sua estrutura e ao problema, ao se deparar com falhas de um ou mais robôs, bem como a implementação deste sistema multiagente em uma plataforma experimental.

1.3 Definição do Problema

Visando cumprir esse objetivo, definiu-se dois problemas. O primeiro e mais simples, consiste na coordenação de uma frota de robôs para que a mesma se alinhe

paralelamente e sigam em linha reta, como em problemas de varreduras de área em paralelo. E o segundo, consiste em um controle de uma frota de N robôs, para que a mesma localize um dado alvo no espaço e o circunde a uma distância R e em um período T , que se reajustará conforme o tamanho da frota.

1.4 Infraestrutura Necessária

Para a realização deste trabalho foram utilizados três kits da plataforma da *LEGO®: Lego Mindstorms®*, disponível do DECOM (Departamento de Computação do Centro Federal Tecnológico de Minas Gerais). Cada kit consiste em um microcomputador NXT de 32 bits, três motores, alguns sensores e peças de lego para montagem da estrutura do robô. Além disto, também será utilizado um computador pessoal, com a seguinte configuração: processador *intel core i7*, 8GB de memória *RAM*, 1GB de memória dedicada e 14", com o *software MATLAB®* e a *IDE Bricx Command Center* ([SOURCE-FORGE, 2001](#)) que é uma plataforma de desenvolvimento para robôs *Lego Mindstorms®* que permite utilizar a linguagem *NXC (Not eXactly C)* para programar os robôs.

2 Trabalhos Relacionados

Com o interesse cada vez mais crescente na área de robótica móvel e sistemas multiagentes, tem uma demanda cada vez maior para estudos nestas áreas. O *Lego Mindstorms®* não é uma plataforma muito interessante de aplicação desses conceitos, entretanto, é uma excelente plataforma a ser utilizada nos estudos dos mesmos. Isto por que, é uma plataforma acessível, existe muita documentação auxiliar, muitos trabalhos relacionados a respeito e é muito simples de ser utilizada. Logo, vê-se muitos trabalhos relacionados a este, que envolvem o estudo da robótica móvel e de sistemas multiagentes.

Existem muitos trabalhos distintos com sistemas multiagentes utilizando-se *Lego Mindstorms®*, com as mais diversas configurações, objetivos distintos, e diferentes estruturas de rede, dentre outros. Entretanto, uma dificuldade reconhecida em todos os trabalhos são as limitações da plataforma, que possui uma quantidade de conexões e tipo de comunicação muito limitada. Para que essa limitação seja superada perde-se uma característica importante da plataforma, que é a simplicidade e facilidade de implementação.

O protocolo de comunicação disponível, por exemplo, só permite a comunicação 'Master/Slave' realizada de forma manual. Outras configurações, requerem uma implementação mais complexa que afeta o custo/benefício de se utilizar essa plataforma, por perder a característica de implementação simples. Pode-se citar como um desses trabalhos, que abordam de forma mais dinâmica e independente a comunicação entre os robôs, [Martinez et al. \(2009\)](#). Seu trabalho consiste em uma sociedade que se configura de forma autônoma, ou seja, indivíduos independentes que se agrupam e formam uma sociedade.

Entre outros trabalhos relacionados a este podemos citar, [Benedettelli et al. \(2009\)](#) que propõe uma configuração experimental para utilizar o *Lego Mindstorms®* como ferramenta de estudos de estratégias de controle de sistemas multiagentes. Ele utiliza uma frota composta por quatro robôs, uma *webcam* e o *MATLAB®*. Com o intuito de se obter uma ferramenta de baixo custo para dar aulas de laboratório de robótica, seu trabalho consiste em propor uma configuração que permita a implementação, comparação e o estudo de diversas estratégias de controle e algoritmos. Uma configuração que, além de tudo, contemple muitos dos problemas vistos em um cenário real.

Utilizando-se de uma unidade central de controle, ele primeiro propõe quatro robôs em pontos diferentes do espaço, orientados em qualquer sentido à rodear um ponto qualquer no espaço, com auxílio da *webcam* e do computador (unidade central de

comando). O que se aproxima bastante deste trabalho, diferindo-se principalmente no que diz respeito à *webcam* como sensor de alimentação do sistema.

Outro trabalho também muito interessante que pode-se citar é o do [Casini et al. \(2011\)](#), ele propõe um laboratório remoto utilizando o *LEGO Mindstorms®*. O trabalho se resume a um laboratório remoto para estudos de robótica móvel, em que tem-se um espaço de cerca de 13 metros quadrados que é filmado por duas câmeras, onde os robôs ficam e podem se movimentar. Foi então desenvolvida uma interface gráfica de acesso online ao laboratório, através da qual os usuários podem acessar e utilizar o laboratório para o estudo de robótica móvel.

3 Fundamentação Teórica

Para que se possa compreender tal trabalho é importante, primeiramente, conhecer alguns conceitos. Para tanto, faz-se neste capítulo uma breve contextualização teórica para auxiliar o leitor ao longo deste trabalho.

3.1 Modelos Matemáticos: Sistemas Não Holonômicos

Os robôs utilizados neste trabalho são considerados modelos não holonômicos e para entender o que é um modelo matemático não holonômico é necessário entender o que é o grau de liberdade de um sistema. Como é visto na literatura ([TAYLOR et al., 2013](#)), o grau de liberdade de um sistema é igual ao "número de coordenadas que podem variar independentemente em um pequeno deslocamento". Dito isto pode-se dizer que um sistema holonômico é um sistema onde o número de coordenadas utilizadas para descrever as configurações do sistema é igual ao grau de liberdade do sistema ([TAYLOR et al., 2013](#)). Ou seja, o sistema pode se movimentar livre e independentemente em qualquer um dos seu eixos (os eixos referentes à configuração do sistema).

Sendo assim, os sistemas não-holonômicos são sistemas em que pode-se chegar à qualquer outro ponto do espaço, entretanto, com restrições. Visto que as variáveis não podem se mover independentemente. Como exemplo de um sistema não-holonômico podemos citar um veículo, que pode alcançar qualquer ponto do espaço bidimensional, entretanto, para alcançar um ponto qualquer deslocado apenas em seu eixo x é necessário um movimento não só ao longo do seu eixo x mas, também do seu eixo y . Já que, um veículo não pode se mover lateralmente ([GOUVÊA, 2011](#)).

3.2 Controle de Formação

Com o crescente avanço da robótica, começou-se o interesse por sistemas robóticos cooperativos, onde muitos robôs agem em conjunto para alcançar o mesmo objetivo. Para que um sistema multiagente possa executar uma tarefa em conjunto é preciso que cada robô esteja na posição correta, para tal, é necessário o controle de formação. O controle de formação é essencial para sistemas robóticos multiagentes pois permite que cada robô esteja em seu devido lugar no momento certo. Existem diversos tipos de estruturas de formação, tanto no que diz respeito a formação física da rede, como do ponto de vista lógico da rede. Como é visto na literatura ([MARTINEZ et al., 2009](#)), pode-se classificar uma rede de multiagentes de diversas formas: Homogênea ou não, no que diz respeito aos tipos de unidades, centralizada ou não, no que diz respeito

à estrutura da rede como indivíduo, até mesmo se a rede é formada por indivíduos independentes ou se é o mesmo robô, quanto à estrutura organizacional e dentre outros.

Do ponto de vista físico podemos citar alguns tipos de estruturas de formação, como referenciado em [Balch e Arkin \(1998\)](#), tais como, estrutura em *line*, *column*, *diamond* e *wedge*. A primeira delas consiste em uma formação em linha horizontal (*line*) como, o próprio nome revela. A segunda, em uma linha vertical (*column*), a terceira *diamond*, que consiste em uma rede em formato de um losango e a quarta, *wedge* em formato de 'V', o que se parece com a estrutura de um *flock*.

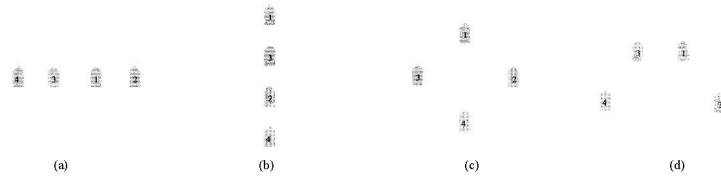


Figura 1 – Controle de Formação: classificação quanto à estrutura física

(a) *Line*, (b) *Column*, (c) *Diamond* e (d) *Wedge*

Fonte: [Balch e Arkin \(1998\)](#)

Além disso tem a classificação quanto a estrutura da rede lógica, centralizada, descentralizada e híbrida e quanto a seu grupo de arquitetura, no caso deste trabalho, a classificação seria móvel. ([MARTINEZ et al., 2009](#)). Outras classificações interessantes que serão abordadas posteriormente são, as técnicas de referência para controle de formação.

3.3 Controle Proporcional Integral Derivativo e a Técnica de Controle em Cascata

O controlador Proporcional Integral Derivativo, ou simplesmente, *PID* consiste em uma técnica com ações proporcionais, integrais e derivativas. A ação proporcional (*P*), consiste em minimizar o erro, enquanto a ação integral (*I*) tende a zerar este erro e a ação derivativa (*D*) tende a reduzir o tempo de resposta. A equação que o modelo está indicada pela [Equação \(1\)](#). Ou seja, a ação proporcional consiste em multiplicar o erro pelo ganho, minimizando o erro, a ação integral consiste em multiplicar pelo ganho a soma dos erros durante a execução do sistema e por fim, a ação derivativa que consiste em multiplicar o ganho pela derivada do erro, tentando assim, antecipar a resposta do sistema.

$$c(t) = k_p e(t) + k_i \int_0^t e(t) dt + k_d \frac{de(t)}{dt} \quad (1)$$

Uma técnica de controle importante que também foi utilizada neste trabalho, foi a técnica conhecida como controle em cascata, esta técnica consiste em passar como referência para o controlador interno, a saída do controlador mais externo, que possui uma referência independente, e a saída do sistema como um todo, é a saída do controlador mais interno. Como será visto mais a frente, é o caso deste trabalho.

3.4 Plataformas

Para o desenvolvimento deste trabalho foram consideradas diversas plataformas de desenvolvimento e gerenciamento de robôs móveis que são compatíveis com *Lego Mindstorms®*. Abaixo serão citados algumas dessas plataformas com suas características.

3.4.1 ROS

ROS(Robotic Operating System) é um sistema operacional robótico *opensource* que dispõe de ferramentas e bibliotecas desenvolvidas para criar aplicações robóticas. Ele permite a comunicação entre o computador e o *lego*, permite a implementação de uma rede centralizada de até quatro robôs, embora, possua funções específicas para área de robótica esse sistema ainda não dispõe de muitos materiais para pesquisa, por isso, optou-se por não utilizá-lo.

3.4.2 NXT-G

É uma plataforma gráfica que vem com o próprio kit *Lego Mindstorms®*, até mesmo pela sua natureza gráfica, ela é muito simples. Entretanto, não permite a comunicação com o computador em tempo de execução. Devido a sua limitação e simplicidade, optou-se por não utilizá-lo.

3.4.3 Simulink

O *Simulink* possui um pacote compatível com o *Lego Mindstorms®* que permite desenvolver e simular algoritmos para plataformas robóticas. Entretanto, só é permitido a comunicação via *bluetooth* entre dois robôs, portanto não atende às demandas requeridas por este trabalho.

3.4.4 LABView

O *LABVIEW* possui um módulo para programar e controlar robôs *Lego Mindstorms®*. É uma ferramenta que permite a comunicação entre o robô e o computador e entre os

robôs. Entretanto, é necessário possuir uma licença para utilizar desta ferramenta, por isso, a ferramenta não será utilizada neste trabalho.

3.4.5 RWTH Aachen MINDSTORMS NXT Toolbox

O MATLAB® possui uma ferramenta *opensource* desenvolvida para controlar robôs *Lego Mindstorms®NXT*, conhecida como: *RWTH Aachen NXT Toolbox*. Permite a comunicação entre robô e o computador ou entre um conjunto de até 4 robôs, no modelo de comunicação mestre/escravo.

3.4.6 BRICX Command center

O ambiente de desenvolvimento integrado conhecido como *BRICX Command Center* é utilizado para o desenvolvimento de aplicações para todas as versões do *Lego Mindstorms®*, do *RCX* ao *EV3*, incluindo o modelo utilizado neste trabalho que é o *NXT*. Suporta diversas linguagens como: *Not eXactly C (NXC)*, *Next Byte Codes (NBC)* e permite o desenvolvimento em *java*, usando o *firmware LeJos*.

4 Metodologia

Para a realização deste trabalho, primeiramente fez-se um estudo das estratégias de controle de formação de robôs móveis, das possibilidades de implementação dessas estratégias na plataforma a ser utilizada (no caso, o *Lego Mindstorms®*) e da viabilidade de modelar e implementar o sistema como um sistema distribuído descentralizado. Onde não tem-se um mestre definido, apenas uma sociedade de robôs que conforme precisam executar uma tarefa, vão recrutando e formando uma frota.

Após realizados os estudos, concluiu-se que, apesar de viável como pode ser visto no capítulo 2, a implementação de um sistema distribuído descentralizado seria muito complexo para ser abordado no período proposto para a realização deste trabalho, que tem como objetivo principal o estudo de estratégias de controle de formação de múltiplos robôs móveis. Para tanto, foi adotada uma estrutura de rede centralizada denominada 'Mestre/Escravo', utilizando a comunicação via *Bluetooth*, a qual a própria plataforma e linguagem (NXT) dão suporte.

Existem diversas maneiras de se implementar um sistema como este, tanto do ponto de vista do sistema distribuído e sua rede de comunicação, quanto do ponto de vista de controle e realimentação das malhas. Foram escolhidas duas estratégias diferentes de formação de múltiplos robôs móveis e fez-se então, duas abordagens distintas. Uma delas que atende apenas à um dos problemas e uma outra abordagem mais genérica que pode ser adaptada para a resolução de ambos os problemas.

Para estabelecer o modelo matemático do problema, foi considerado o modelo de robô mostrado na Figura 2, que consistem em um modelo não holonômico, onde tem-se duas rodas unidirecionais e uma roda orientável. Para definição do modelo matemático levou-se em consideração que os *encoders* seriam utilizados para odometria e então, foram definidas as restrições da modelagem matemática do problema que, desconsidera problemas como: saturação do atuador, derrapagem das rodas, os erros de medição dos *encoders* bem como, as limitações da plataforma.

Após feita a modelagem do problema, foram feitas as implementações e os testes, onde seria possível observar se a odometria feita seria suficiente para alimentar o sistema com precisão e tornar a solução viável. Levando-se em consideração que para tanto foram utilizados os *encoders* óticos acoplados aos motores do *kit Lego Mindstorms®* que, por sua vez, possuem uma imprecisão que é da ordem de ± 1 grau por rotação

Concomitantemente, foram realizadas simulações, através da ferramenta *MATLAB®*, a fim de prever e validar a modelagem feita do problema, desconsiderando os problemas práticos como, falha na comunicação e falta de sincronismo entre os robôs, erros



Figura 2 – Modelo do Robô

dos *encoders* e problemas como saturação do motor e derrapagem das rodas. Bem como fazer uma comparação entre o modelo real e o modelo idealizado do sistema.

4.1 Modelo Matemático

Para introduzir a dinâmica dos robôs móveis utilizados, inicialmente o robô será considerado como um uniciclo, um elemento pontual. A dinâmica de um robô móvel não-holonômico do tipo uniciclo, desconsiderando a dinâmica, pode ser descrita pelas equações abaixo:

$$\dot{x} = v \cos(\theta) \quad (2)$$

$$\dot{y} = v \sin(\theta) \quad (3)$$

$$\dot{\theta} = \omega \quad (4)$$

sendo:

- (x,y) as coordenadas da posição do robô no plano cartesiano;
- θ o sentido do robô no plano cartesiano;
- v e ω indicam a velocidade linear e angular do robô, respectivamente.

Derivadas dessas equações, surgem as equações 5,6 e 7 modeladas baseadas no robô real, que não é um elemento pontual no espaço e sim, um modelo não holonômico.

Elas serão utilizadas para visualizar a trajetória do robô no ambiente *MATLAB*® e verificar se a trajetória é compatível com o caminho percorrido pelo robô no mundo real.

Tendo em vista, que a odometria será feita utilizando-se os *encoders* da própria plataforma e o sistema será realimentado com essas medidas, é de extrema importância que a trajetória observada no mundo real e a registrada pelo robô, através das equações e utilizando-se os *encoders*, sejam consideravelmente semelhantes. Caso o contrário, a realimentação do sistema estará incorreta, comprometendo seriamente, e por que não dizer inviabilizando, o controle do sistema.

$$x_{k+1} = x_k + \frac{D_r + D_l}{2} \cos(\theta_k) \quad (5)$$

$$y_{k+1} = y_k + \frac{D_r + D_l}{2} \sin(\theta_k) \quad (6)$$

$$\theta_{k+1} = \theta_k + \frac{D_r - D_l}{L} \quad (7)$$

sendo:

- x_{k+1} e x_k a coordenada x do robô no instante k e no instante $k + 1$;
- y_{k+1} e y_k a coordenada y do robô no instante k e no instante $k + 1$;
- θ_{k+1} e θ_k o sentido do robô no instante k e no instante $k + 1$;
- D_r e D_l a distância que a roda direita e esquerda percorreram no instante de tempo entre k e $k + 1$, respectivamente;
- L o tamanho do eixo do robô;

Dado que a velocidade linear e angular de um robô como o do modelo utilizado neste trabalho é dada pela velocidade angular de cada uma das suas rodas unidirecionais, tem-se nas equações 8 e 9 a função que descreve a velocidade linear e angular do robô baseado na velocidade angular de suas rodas.

$$v = \frac{(\omega_r + \omega_l)rp}{2} \quad (8)$$

$$\omega = \frac{(\omega_r - \omega_l)rp}{L} \quad (9)$$

Em que:

- v é a velocidade linear do robô;

- ω é a velocidade angular do robô;
- ω_r é a velocidade angular da roda direita do robô;
- ω_l é a velocidade angular da roda esquerda do robô;
- rp é o raio da roda do robô;
- L é a distância entre as rodas unidirecionais do robô.

4.2 Problema 1: *In line*

O primeiro problema consiste em: dado uma frota de N robôs, esses robôs devem se alinhar horizontalmente e seguir em linha reta, andando paralelamente, utilizando a estrutura já citada na seção 3.2, denominada "*In Line*". Primeiro, este problema será modelado considerando uma modelagem mais simples que será melhor descrita a seguir.

Considerando-se N robôs separados por uma distância Δy no eixo y , cada um em um ponto distinto no eixo x , como mostrado na Figura 3 (a), a tropa deve se alinhar paralelamente e seguir andando paralelamente com uma velocidade v_d constante.

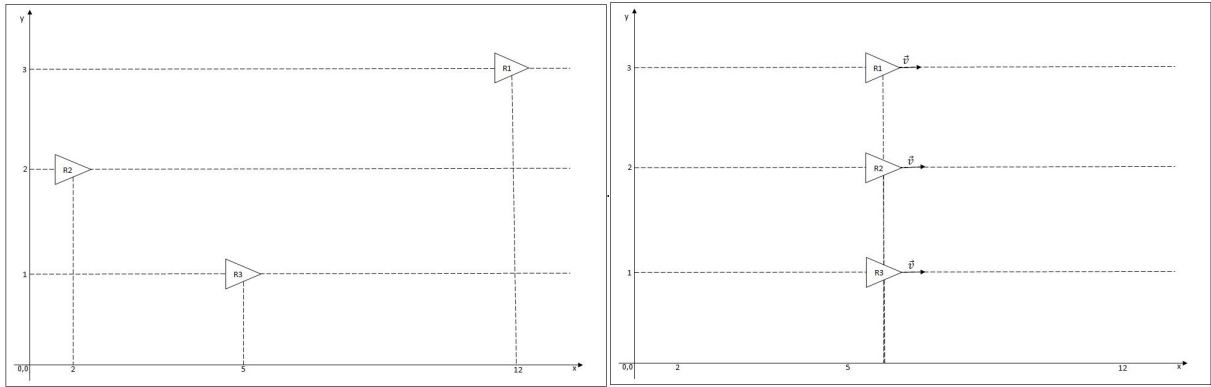


Figura 3 – Problema 1: Fig.(a): Sistema no instante i . Fig.(b): Sistema no instante $i+k$.

Supondo uma tropa de três robôs, orientados todos no mesmo sentido do eixo x , as velocidades de cada robô devem variar de acordo com o erro de posicionamento do mesmo no eixo x , conforme a distância entre os robôs. Conforme mostrado nas equações 10, 11 e 12. Essas equações fazem com que o robô mais adiantado da frota, imprima uma velocidade menor que os outros robôs, tendendo a se aproximar dos mesmos, em contrapartida os robôs que estão "atrasados" imprimem uma velocidade maior, até que o erro entre eles seja zero e os mesmos caminhem com velocidade constante.

$$v_{Robo1} = v_d + k \times erro_{2,1} \quad (10)$$

$$v_{Robo2} = v_d + k \times (erro_{1,2} + erro_{3,2}) \quad (11)$$

$$v_{Robo3} = v_d + k \times erro_{1,3} \quad (12)$$

Onde,

- v_{Robo1} , v_{Robo2} e v_{Robo3} são as velocidades que cada robô deve possuir para assumir a formação *in line*;
- v_d é a velocidade que a frota deve assumir após estar alinhada;
- k é a constante de ganho proporcional do controlador;
- E as variáveis de erro são calculadas, obtendo se a diferença entre a posição no eixo x entre os robôs, como demonstrado na [Equação \(13\)](#).

$$erro_{i,j} = x_i - x_j \quad (13)$$

É importante notar que ao abordar o problemas desta maneira elimina-se o problema de colisão entre os robôs, que estão inicialmente separados no eixo y e alinhados no mesmo sentido, e assim seguem, visto que os mesmos não imprimem velocidade angular. Desta forma, tornando o problema bem didático para ser abordado inicialmente. Posteriormente, será mostrado o problema sendo abordado de outra forma.

4.3 Problema 2: Rodeando um alvo

O segundo problema consiste em guiar uma frota de robôs a localizar e circundar, a uma distância R , um alvo localizado em uma determinada posição (x,y) do plano. E tem como objetivo secundário, ajustar a formação da tropa de robôs que deve se reajustar de acordo com o tamanho da frota, para que continue cobrindo com eficiência a fronteira. Ou seja, caso um ou mais robôs saiam da rede, a frota ira se reajustar para que cada robô tenha a mesma distância entre si e assim, não fique uma grande parte da fronteira sem cobertura, como demonstrado na [Figura 4](#). Que representa uma frota de quatro robôs andando ao redor do alvo, quando então, um dos robôs falha. E o sistema se reajusta para adaptar-se à rede de apenas três robôs.

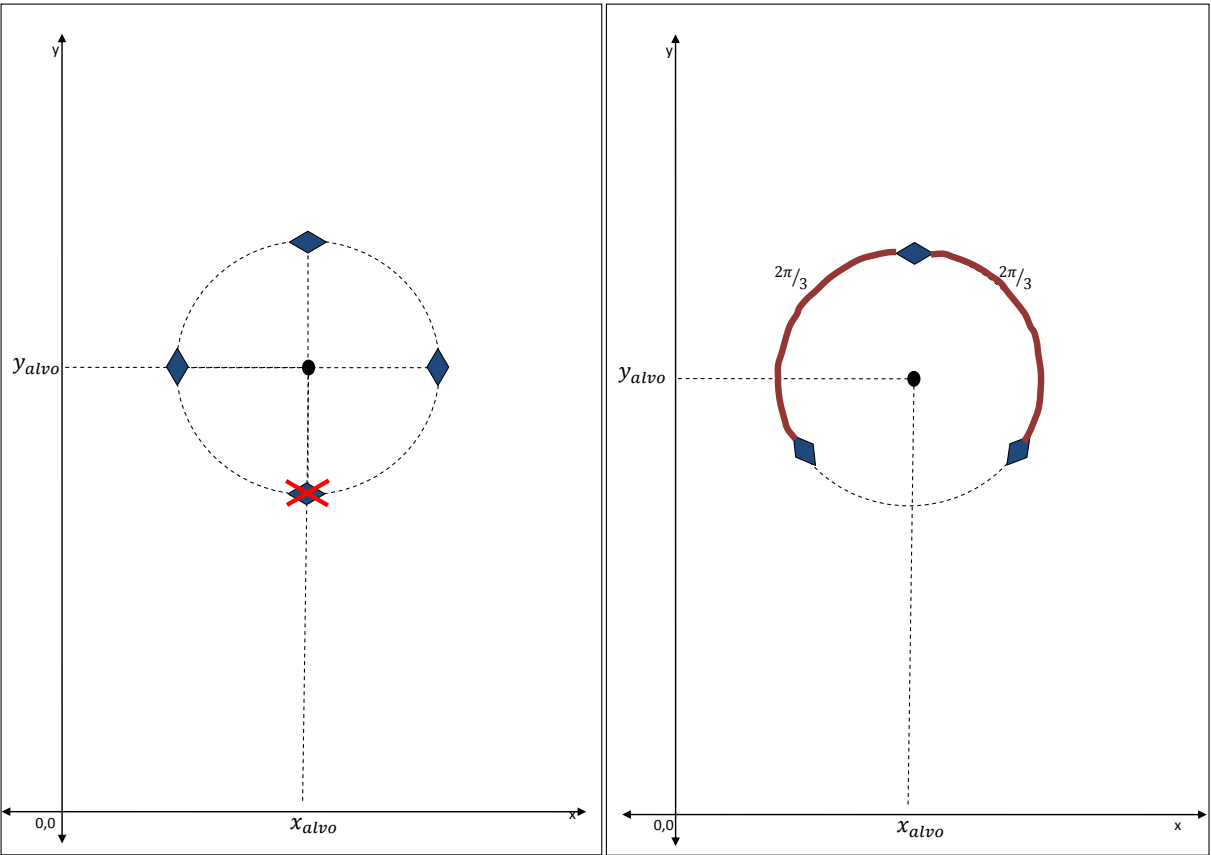


Figura 4 – Modelagem do Sistema

5 Abordagem e Modelagem do Problema: Malhas de Controle

Como citado no [Capítulo 4](#), serão utilizadas duas abordagens diferentes, uma para resolver apenas o primeiro problema e a outra uma abordagem mais genérica que permite adaptação para resolução de ambos os problemas. A primeira abordagem, utilizará uma malha de controle de velocidade e uma malha de controle que será responsável pela comunicação entre os robôs e definirá a velocidade de cada robô, baseado na posição dos outros integrantes da frota.

Já a segunda abordagem, serão três malhas de controle: A primeira e mais interna será responsável pelo controle da velocidade angular de cada roda, para se chegar à posição (x,y) desejada. A segunda, malha intermediária, será responsável para que cada robô chegue a um determinado ponto (x,y) no espaço, portanto, será responsável por corrigir o posicionamento do robô. Ambas as malhas estarão presentes em cada um dos robôs da frota. A terceira malha, e portanto, a mais externa é responsável pela coordenação da frota, fornecendo a cada robô as informações necessárias para que o mesmo saiba o ponto (x,y) , onde deve ficar para consolidar e manter a formação.

Faz-se então neste capítulo um detalhamento das malhas de controle utilizadas e das modificações realizadas para que a segunda abordagem atenda à ambos os problemas. Bem como, uma descrição de como funcionam as malhas responsáveis pela comunicação e pelo controle de formação para a resolução de cada um dos problemas e faz-se um levantamento dos possíveis problemas que podem surgir na implementação do sistema.

5.1 Malha de Controle 1: Velocidade Angular das Rodas

Como já dito anteriormente neste trabalho, este sistema de controle consiste em um controle de três malhas, e agora será abordado sobre a primeira malha. Ela controla os motores para atingir a velocidade angular desejada de cada roda (ω_{dr}, ω_{dl}). Ou seja, a malha de controle vai receber a velocidade linear e angular que se deseja imprimir no robô e retornar a "potência" que deve ser aplicada a cada um dos motores para se atingir as velocidades desejadas. Como demonstrado pela `/autoreffig:malha1`.

É importante ressaltar que como o robô não é um elemento pontual¹, como considerado na [Seção 4.1](#) ao descrever as equações do modelo, temos que descrever a velocidade angular (ω) e linear (v) do robô em função de cada roda, para sabermos a

¹ Veja a ?? para visualizá-lo como um elemento não pontual, que depende da variação de velocidade de cada roda para definir a velocidade e o sentido do robô.

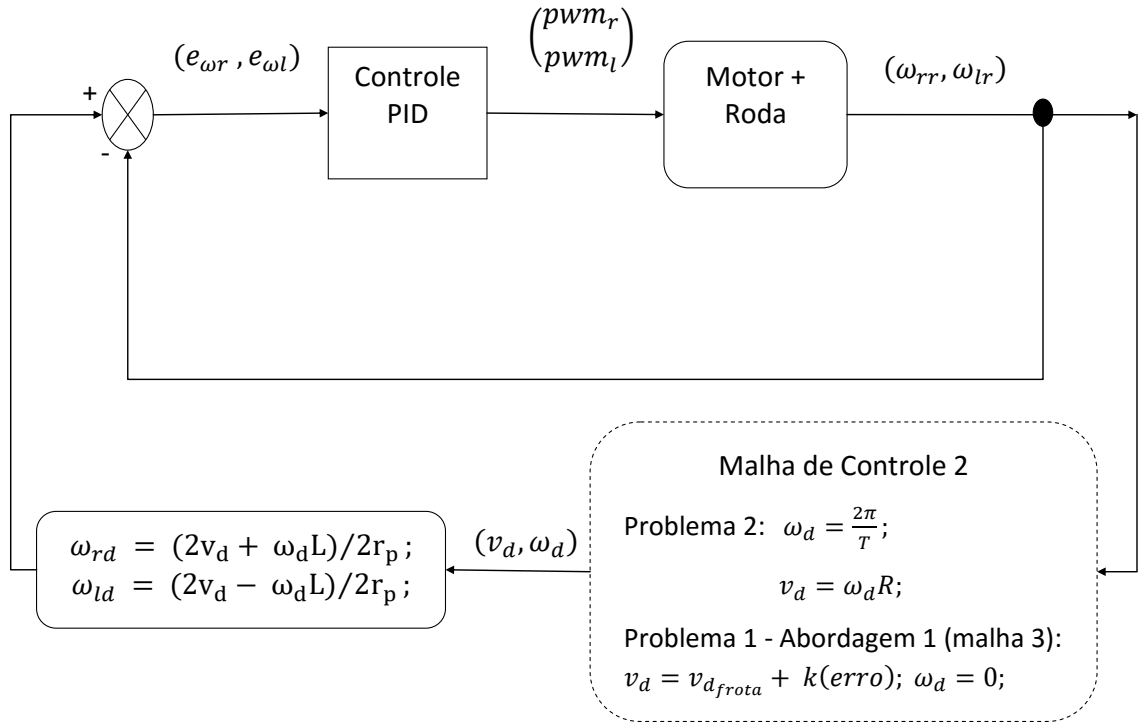


Figura 5 – Primeira malha de Controle do Sistema - Controle da velocidade angular

potência a ser aplicada em cada uma delas para que o robô obtenha a velocidade e o sentido desejados.

A partir daí o módulo calcula velocidade angular desejada de cada roda, como demonstrado nas equações abaixo:

$$\omega_{dr} = \frac{2v + \omega_d L}{2r_p} \quad (14)$$

$$\omega_{dl} = \frac{2v - \omega_d L}{2r_p} \quad (15)$$

onde:

- v_d é a velocidade linear desejada do robô (m/s);
- ω_{dr} é a velocidade angular desejada da roda direita (rad/s);
- ω_{dl} é a velocidade angular desejada da roda esquerda (rad/s);
- r_p o raio do pneu (m);
- L o tamanho do eixo do robô (m).

Com a velocidade angular de cada roda do robô, calculada através dos dados fornecidos pelos *encoders*, é calculado o erro das velocidades, como mostrado nas equações abaixo, e o controlador os retorna as ações de controle que serão passadas como potência para cada uma das rodas.

$$e_{wr} = \omega_{dr} - \omega_{rr} \quad (16)$$

$$e_{wl} = \omega_{dl} - \omega_{rl} \quad (17)$$

onde:

- e_{wr} e e_{wl} são os erros da velocidade angular da roda direita e esquerda, respectivamente;
- ω_{rr} é a velocidade angular real da roda direita e esquerda, respectivamente.

5.2 Malha de Controle 2: Posicionamento

Para que a malha de controle 3, que consiste no controle de formação da tropa funcione, primeiramente é necessário implementar o controle de posicionamento de cada robô. Ou seja, para que o robô cumpra a missão, é necessário que a malha de controle de formação passe para cada robô os parâmetros necessários para o ajuste da estrutura, tais como, posicionamento, velocidade e número de robôs da frota. Esse por sua vez, deve conseguir se posicionar na posição correta, recebida pela malha de controle 3, o que só será possível se a malha de controle 1 conseguir controlar adequadamente os motores para que eles imprimam a velocidade correta em cada roda.

Como pode ser visto na ??, o problema a ser resolvido pela segunda malha de controle, consiste em, dado um sistema de coordenadas cartesianas, onde têm-se um robô móvel de posição (x_r, y_r) , cujo sentido (θ) é indicado pela sua variação dado o eixo x do sistema, onde pretende-se fazer com que o robô chegue ao ponto desejado (x_d, y_d) , recebido da malha de controle 3). Para tanto, a malha 2 funciona da seguinte maneira: Recebe da malha 3 os parâmetros necessários para o cálculo da posição desejada do robô (x_d, y_d) , a partir daí é achado o erro de posição do robô (e_x, e_y) , fazendo-se a diferença entre a posição desejada e a posição real do robô (x_r, y_r) , que é obtida através dos *encoders* do LEGO®, que se mostrou suficientemente precisos.

$$e_r = r_d - r_r \quad (18)$$

$$e_x = x_d - x_r \quad (19)$$

$$e_y = y_d - y_r \quad (20)$$

Através do erro de posicionamento do robô, encontra-se o sentido desejado (θ_d), como mostrado na [Equação \(21\)](#). Então, o erro de sentido do robô é obtido, através da [Equação \(22\)](#) abaixo.

$$\theta_d = \arctan\left(\frac{e_y}{e_x}\right) \quad (21)$$

$$e_\theta = \theta_d - \theta_r \quad (22)$$

O erro de sentido (e_θ) é passado para o controlador que retorna a velocidade linear e angular da ação de controle, que será passada para a malha mais interna.

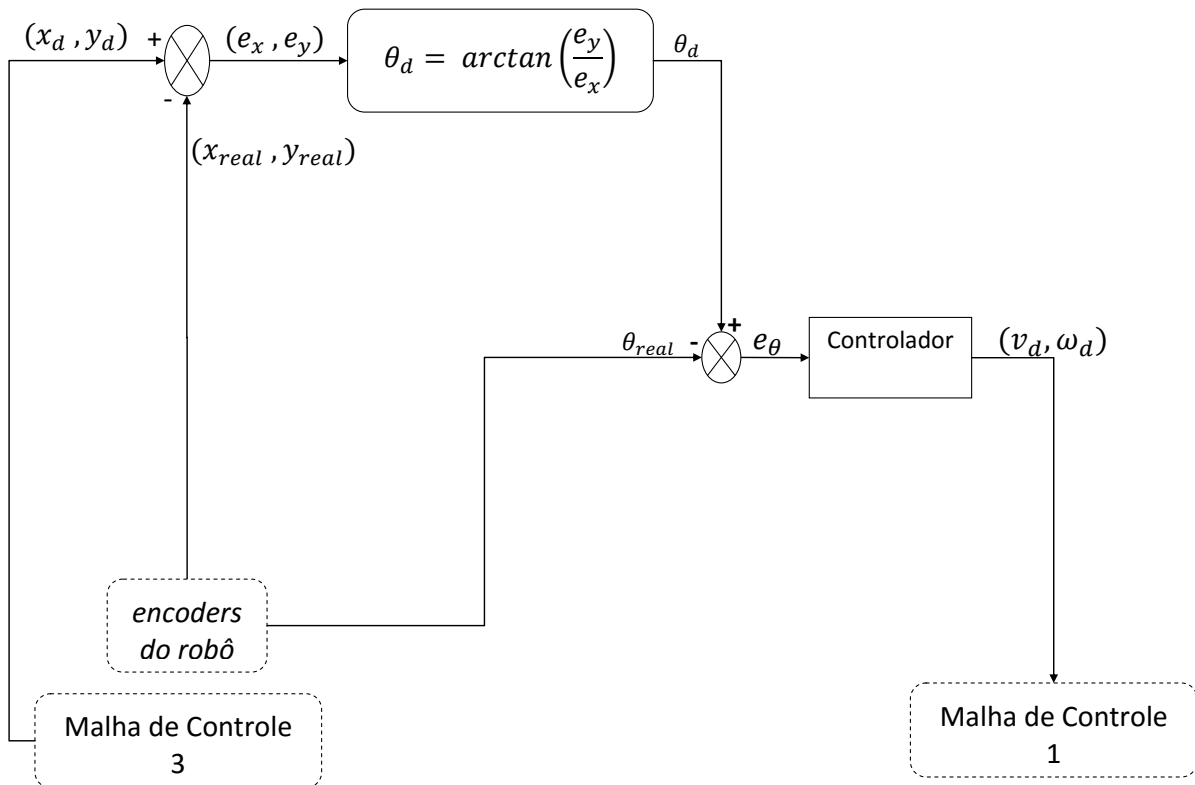


Figura 6 – Segunda malha de Controle do Sistema - Controle de Posicionamento

5.3 Malha de Controle 3: Controle de formação

6 Resultados Preliminares

Para alcançar o objetivo final deste trabalho, fez-se uma modularização do problema que será validada e integrada, módulo a módulo. Para a primeira parte do trabalho, supõe-se que o robô já tenha encontrado o alvo e precisa simplesmente circular ao seu redor. Ou seja, precisa realizar um movimento circular uniforme. Para tal, foi necessário elaborar a malha de controle 1 que é responsável pelo controle de velocidade de cada roda.

Sendo assim, foi estabelecido o raio (R) e o período (T) em que o robô pretende circular ao redor do alvo. Definindo-se R igual a $15cm$ e $T = 5s$. Tem-se que a velocidade angular desejada do robô (ω_d) será de $1,256rad/s$, conforme ???. E a velocidade linear desejada (v_d) do robô será de $0,1884m/s$, supondo o ideal que é um sistema já estabilizado. Ou seja, em movimento circular uniforme onde tem-se que:

$$v = \omega R \quad (23)$$

A partir destas definições foram utilizados os *encoders* do próprio *Lego Mindstorms®* para obter a velocidade real (ω_{rr}, ω_{rl}) de cada roda e as equações 14 e 15, para calcular a velocidade angular desejada de cada roda (ω_{dr}, ω_{dl}), para que o robô entre em movimento circular uniforme. E assim, foram utilizadas as equações 16 e 17, para o cálculo do erro da velocidade angular (e_{wr}, e_{wl}). Este erro alimenta o controlador que retorna como saída, a potência (pwm_r, pwm_l) que será passada a cada motor.

Foram implementados três tipos de controladores diferentes, afim de comparar o desempenho dos mesmos para resolução do problema. Primeiro, implementou-se um controlador simples que acresce de uma unidade a potência do motor quando a um erro maior que zero, ou decresce, caso haja um erro menor que zero. É importante ressaltar que os motores do kit *Lego Mindstorms®* aceitam comandos de potência que variam de -100 a 100 . Logo, poderiam haver situações em que a potência passada aos motores excederia aos limites do motor, para evitar a saturação dos atuadores, foi definido um limite para a saída do controlador que respeite às limitações da plataforma.

Ao utilizar a ferramenta *MATLAB®* para visualizar o erro de velocidade angular, percebe-se que ela converge para zero como esperado, como mostrado na [Figura 7](#).

Entretanto, ao observar a trajetória do robô no plano e ao plotar no *MATLAB®* a trajetória do mesmo, utilizando-se as equações 5, 6 e 7, percebe-se que ele demora um pouco para realizar o movimento circular, como demonstrado na [Figura 8](#).

Feito isso, para fins de comparação, implementou-se um controlador PI, de

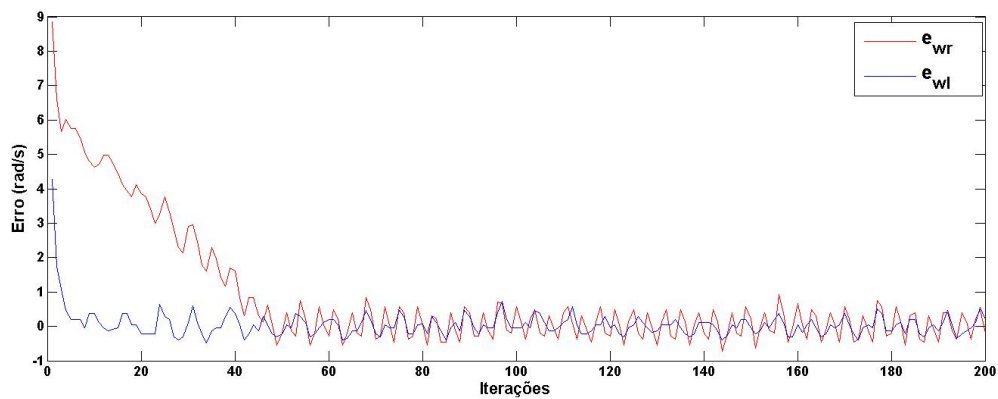


Figura 7 – Erro de velocidade angular - Controle Simples

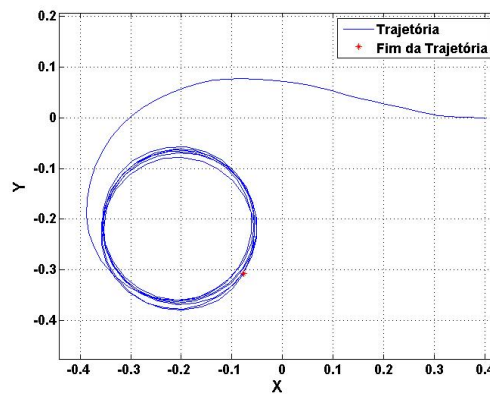


Figura 8 – Trajetória do Robô (R: 15cm) - Controle Simples

ganho proporcional (k_p) igual a 10 e ganho integral (k_i) igual a 1 e obteve-se os erros e a trajetória demonstrados pelas figuras 9 e 10.

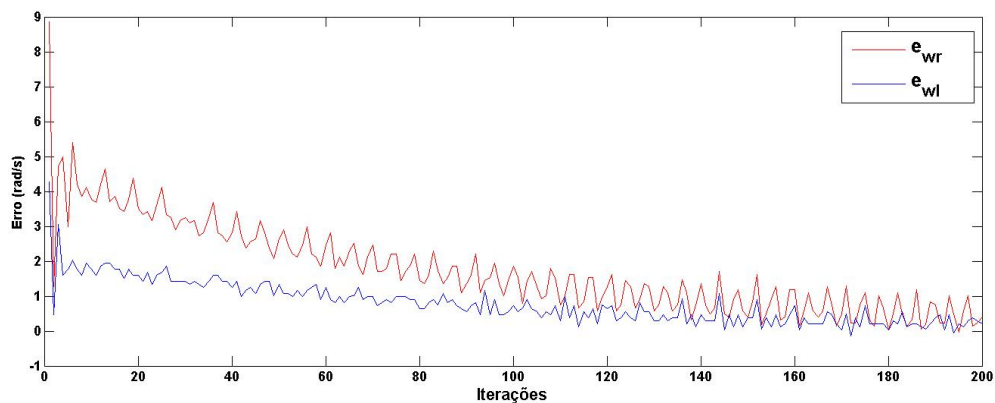


Figura 9 – Erro de velocidade angular - Controle PI: $k_p = 10, k_i = 1$ - Raio 15cm

Observando as figuras 7 e 9 é possível notar que ambos os controladores tendem à diminuir o erro de velocidade. Contudo, ao verificar na figura comparativa Figura 11 é possível perceber que o controlador simples converge mais rapidamente que o controlador PI. Entretanto, embora o controlador simples convirja mais rapidamente, o que

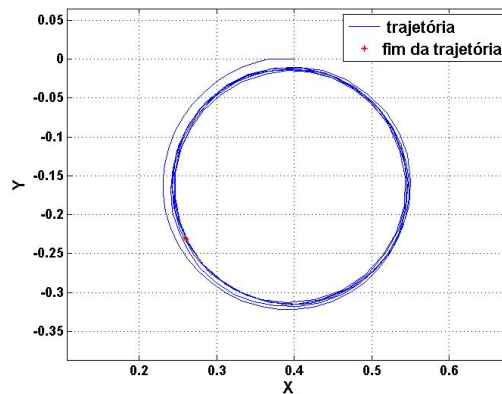


Figura 10 – Trajetória do Robô (R: 15cm) - Controle PI: $k_p = 10, k_i = 1$

se mostra no comparativo da trajetória (Figura 12) de ambos os controladores, é que o controlador *PI*, converge mais rapidamente para a trajetória desejada. Sendo assim, foram realizados mais experimentos com variações do controlador *PI*, como será visto a seguir.

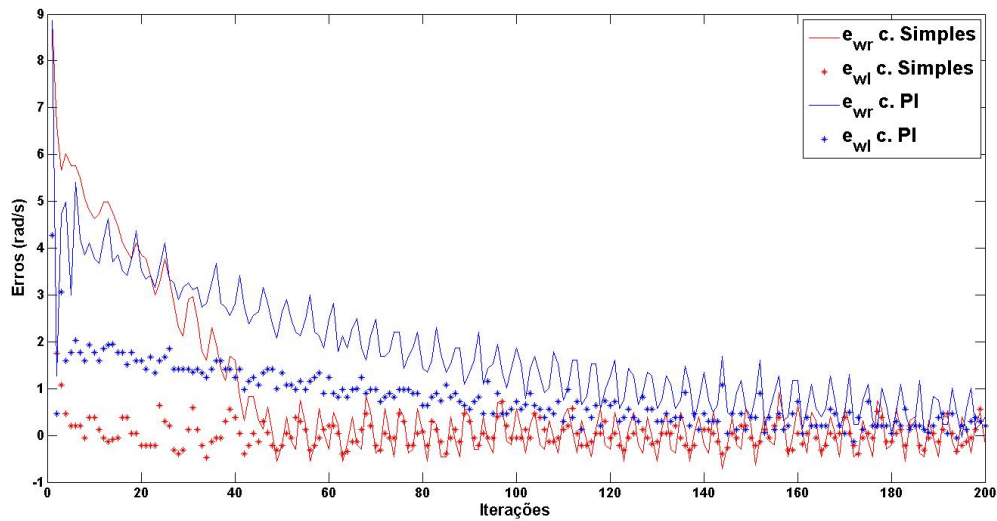


Figura 11 – Comparativo - Erro de velocidade angular - Controle PI e Controle Simples - Raio 15cm

Primeiro, fez-se testes variando o ganho proporcional (k_p). Notou-se, como comprovado pela Figura 13 que ao dobrar k_p , o sistema se tornava instável, como previsto na Seção 3.3, que indica que quanto maior o ganho, mais o sistema tende à se instabilizar. Depois, foi realizada uma comparação, alterando-se os parâmetros de k_p e k_i , como mostrado na Figura 14. E por fim, foram realizados experimentos variando o raio do perímetro ao redor do alvo, como exemplificado na Figura 15, onde observa-se que a trajetória é suficientemente precisa, conforme o sistema se estabiliza.

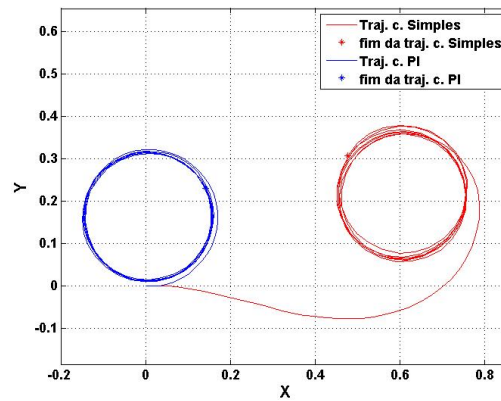


Figura 12 – Comparativo da Trajetória do Robô (R: 15cm) - Controle PI e Controle Simples

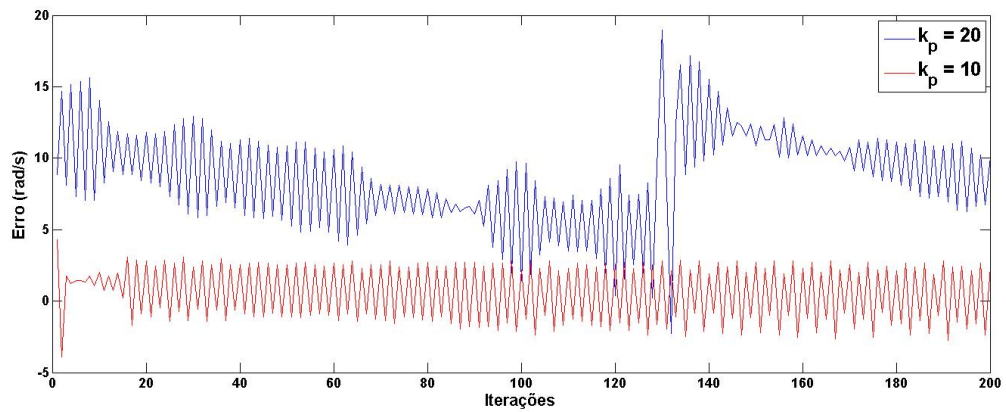


Figura 13 – Erro de velocidade angular - Controle PI: Sistema Instável - Raio 15cm

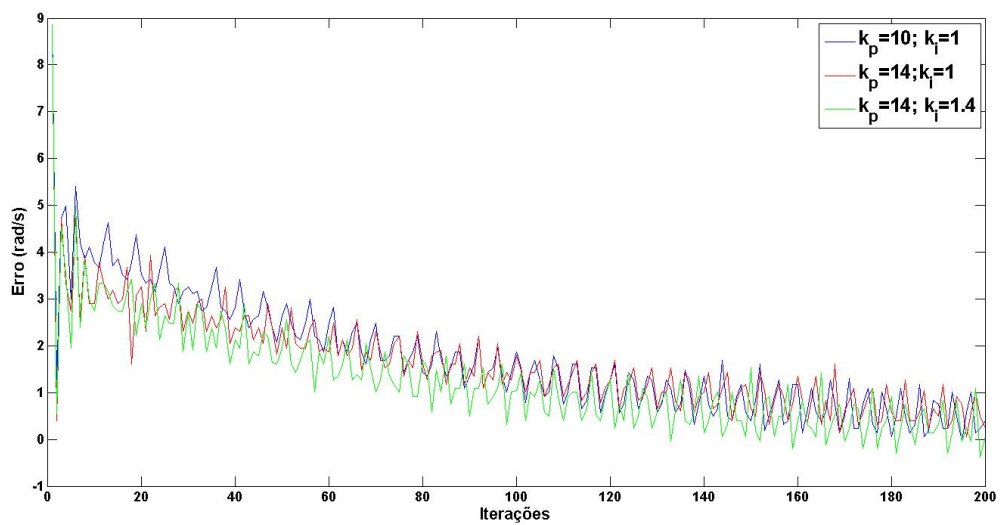


Figura 14 – Comparativo: Erro de velocidade angular - Controladores PI

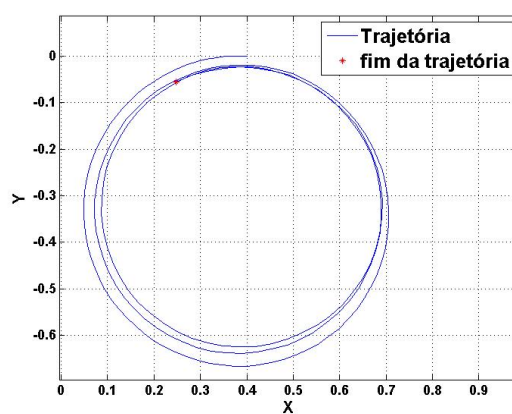


Figura 15 – Trajetória do Controladores PID - Raio 30cm

7 Conclusão

Após realizados os testes, pode-se concluir que os *encoders* são suficientemente precisos, até então, para serem utilizados como ferramenta de medição e alimentador do sistema. Entretanto, devem ser realizados mais experimentos afim de aprimorar mais os ganhos do controlador para que possa-se assim ter uma maior segurança quando forem realizados os testes na malha 2, que no momento, apresenta-se em fase de implementação e testes.

Na segunda etapa deste trabalho serão realizados mais estudos a respeito das possibilidades de estruturação da rede do *Lego Mindstorms®* e será realizada sua implementação afim de se concluir com o objetivo deste trabalho.

Referências

- BALCH, T.; ARKIN, R. C. Behavior-based formation control for multirobot teams. **Robotics and Automation, IEEE Transactions on**, IEEE, v. 14, n. 6, p. 926–939, 1998. Citado na página 7.
- BENEDETTELLI, D.; CASINI, M.; GARULLI, A.; GIANNITRAPANI, A.; VICINO, A. A lego mindstorms experimental setup for multi-agent systems. In: **Control Applications, (CCA) Intelligent Control, (ISIC), 2009 IEEE**. [S.l.: s.n.], 2009. p. 1230–1235. Citado na página 4.
- CARLES, M.; HERMOSILLA, L. O futuro da medicina: nanomedicina. **Revista Científica Eletrônica de Medicina Veterinária**, v. 6, n. 10, p. 1–7, 2008. Citado na página 1.
- CASINI, M.; GARULLI, A.; GIANNITRAPANI, A.; VICINO, A. A lego mindstorms multi-robot setup in the automatic control telelab. In: **Proceedings of 18th IFAC World Congress, Milano, Italy**. [S.l.: s.n.], 2011. v. 28. Citado na página 5.
- CHEN, H.; SHENG, W.; XI, N.; SONG, M.; CHEN, Y. Automated robot trajectory planning for spray painting of free-form surfaces in automotive manufacturing. In: **Robotics and Automation, 2002. Proceedings. ICRA '02. IEEE International Conference on**. [S.l.: s.n.], 2002. v. 1, p. 450–455 vol.1. Citado na página 1.
- CORRÊA, M. A.; JÚNIOR, J. B. C. **Estudos de veículos aéreos não tripulados baseado em sistemas multi-agentes e sua interação no espaço aéreo controlado**. [S.l.]: Sitraer, 2008. Citado na página 1.
- GIRARD, A. R.; HOWELL, A. S.; HEDRICK, J. K. Border patrol and surveillance missions using multiple unmanned air vehicles. In: IEEE. **Decision and Control, 2004. CDC. 43rd IEEE Conference on**. [S.l.], 2004. v. 1, p. 620–625. Citado na página 2.
- GOUVÊA, J. A. **CONTROLE DE FORMAÇÃO DE ROBÔS NÃO-HOLONÔMICOS COM RESTRIÇÃO DE CURVATURA UTILIZANDO FUNÇÃO POTENCIAL**. Tese (Doutorado) — Universidade Federal do Rio de Janeiro, 2011. Citado na página 6.
- JESUS, T. A. **Estratégias de Guiagem e Cooperação de Robôs Aéreos Sujeitos a Restrições nas Entradas e/ou nos Estados**. Tese (Doutorado) — Universidade Federal de Minas Gerais, 2013. Citado na página 2.
- MARJOVI, A.; NUNES, J. G.; MARQUES, L.; ALMEIDA, A. de. Multi-robot exploration and fire searching. In: IEEE. **Intelligent Robots and Systems, 2009. IROS 2009. IEEE/RSJ International Conference on**. [S.l.], 2009. p. 1929–1934. Citado na página 2.
- MARTINEZ, D. L. et al. Reconfigurable multi robot society based on lego mindstorms. Helsinki University of Technology, 2009. Citado 3 vezes nas páginas 4, 6 e 7.
- RAMCHURN, S. D.; HUYNH, D.; JENNINGS, N. R. Trust in multi-agent systems. **Knowl. Eng. Rev.**, Cambridge University Press, New York, NY, USA, v. 19, n. 1, p. 1–25, mar. 2004. ISSN 0269-8889. Disponível em: <<http://dx.doi.org/10.1017/S0269888904000116>>. Citado na página 1.

SECCHI, H. **Uma Introdução a Robôs Móveis**. [S.l.]: Argentina, 2008. Citado na página 1.

SOURCEFORGE. **Bricx Command Center**. 2001. Disponível em: <<http://bricxcc.sourceforge.net/>>. Acesso em: 30 de março de 2009. Citado na página 3.

TAYLOR, J.; DÍAZ, J.; GRAU, A. **Mecánica clásica**. Reverté, 2013. ISBN 9788429143126. Disponível em: <<http://books.google.com.br/books?id=6QJngEACAAJ>>. Citado na página 6.